

2) β および γ の分布の推定

(5)式を整理することにより、 β 、 γ の代表値をそれぞれ、 $\beta = 1.98$ 、 $\gamma = 0.3$ とした。次に γ の変動を考慮して(8)式と観測値から最小 χ^2 値法により γ の分布を求めた結果を図-2に示す。

β の分布と同様に、 γ の分布の適合性も確認された。

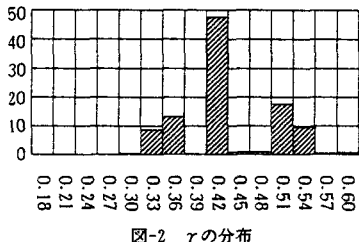


図-2 γ の分布

今和泉の秋季レクリエーション交通のモデル作成の研究で求められた β は、 $\beta = 0.145$ で最も分布が多く、0.115から0.280の間に分布していた。

また γ に関しては、 $\gamma = 0.37$ をピークとして 0.09 から 0.45 の間に分布していた。

図-1、図-2より、秋季と夏季を比較すれば、 β はおむね小さな値に、 γ はおむね大きな値となった。

3) 所要時間短縮にともなう入園・退園行動の変化

所要時間短縮は列車速度の上昇を想定した。

海の中道海浜公園への鉄道によるアクセスの方法として鹿児島本線と香椎線が考えられる。鉄道の平均速度を48kmから70kmに上昇させたと仮定した。さらにその場合香椎線での離合待ち時間5分も短縮できるものとして短縮された所要時間を仮定した。

(7)式、 β の分布より求めた時間短縮がない場合の退園分布および所要時間短縮を行った場合の退園分布を図-3に示す。

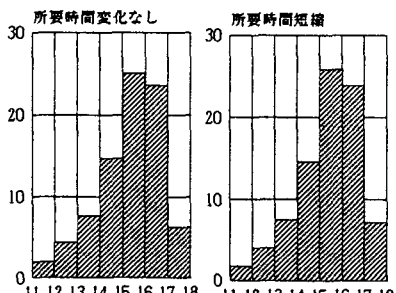


図-3 退園時刻分布

(8)式、 γ の分布より求めた時間短縮がない場合入園分布および時間短縮を行った場合の入園分布を図-4に示す。

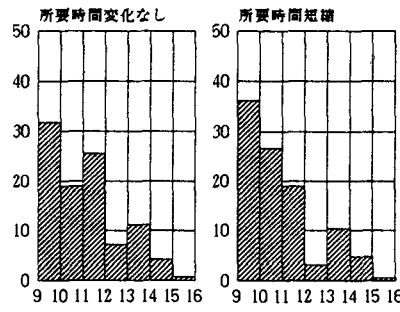


図-4 入園時刻分布

4. 考察および結論

理論値と観測されたデータから夏のモデルに関して、おおむね再現できたといえるだろう。これらの結果から次のようないふるいえる。

①秋季と比べた夏季の β は、帰宅時刻が遅いための非効用を小さくする方向へ変動している。

また秋季と比べた夏季の γ は、出発時刻が早いための非効用を小さくする方向へ変動している。

しかしながら入園・退園分布に関しては有意差が生じるほどの変動は観測されなかった。

②これより季節によるレクリエーション交通の変動には、所要時間の変動が大きく寄与するということが考えられる。

③所要時間短縮が、人の退園時刻に与える影響は小さく、入園時刻に対してはかなり大きな影響を与えることが推定された。

④所要時間短縮により、約15分の在園時間延長が推定された。

⑤所要時間短縮によってレクリエーション施設利用者がより大きな効用を得られる。これは需要の発生に影響する。

今後は、この結果をもとにレクリエーション施設利用の需要予測の検討を行っていく必要がある。

【参考文献】

今和泉和人：日帰りレクリエーション交通における公共交通機関利用者の行動モデルの作成
九州大学修士論文、1989年